

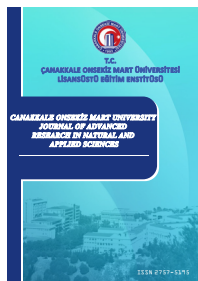
PAPER DETAILS

TITLE: Tünel Yangınlarında Jet Fan Diziliminin Duman ve Isı Kontrolüne Olan Etkilerinin İncelenmesi

AUTHORS: Songül SOLMAZ, Tolga DEMIRCAN

PAGES: 494-504

ORIGINAL PDF URL: <https://dergipark.org.tr/tr/download/article-file/2005463>



Tünel Yangınlarında Jet Fan Diziliminin Duman ve Isı Kontrolüne Olan Etkilerinin İncelenmesi

Songül Solmaz¹, Tolga Demircan^{1,*}

¹Makine Mühendisliği Bölümü, Mühendislik ve Mimarlık Fakültesi, Kırıkkale Üniversitesi, Kırıkkale, Türkiye

Makale Tarihçesi

Gönderim: 01.10.2021

Kabul: 04.02.2022

Yayım: 25.09.2022

Araştırma Makalesi

Öz – Bu çalışmada, bir karayolu tünelinde çıkabilecek olası bir yangın sonucu oluşan yüksek ısı ve dumanın kontrolü üzerine çalışılmıştır. Bu kapsamında, tünel girişinden iki farklı konum için olası yangın modelleri oluşturulmuştur. Yangın sonucu oluşacak dumanın tünel dışına atılabilmesi amacıyla, tünel boyunca farklı noktalara üç adet aksiyel jet fanın yerleştirildiği düşünülmüştür. Oluşturulan yangın modelleri için, tünel içeresine yerleştirilmiş olan bu jet fanlarının farklı açıklık kapalılık durumları için farklı yangın senaryoları oluşturularak, sayısal analizler tekrarlanmıştır. Böylelikle yangın konumunun ve fan diziliminin sıcaklık, duman, CO ve O2 değerlerine olan etkileri incelenmiştir. Sonuç olarak, tünelin girişine yakın bölgelerde çıkan bir yangınla tünel içerisindeki sıcaklık ve duman dağılımının, tünel çıkışına yakın bölgelerde çıkan bir yanına göre daha yoğun olduğu belirlenmiştir. Fanların açıklık ve kapalılık durumun ise, tünel içerisindeki sıcaklık ve duman dağılımlarını önemli ölçüde etkilediği gözlemlenmiştir. Hiçbir fanın çalışmadığı durumda, tünel içindeki sıcaklık ve duman seviyelerinin çok yükseldiği ve ortamın insan sağlığı için olumsuz özelliklerde olduğu belirlenmiştir. Sadece 3. fanın açık olması, yangın kaynaklı duman, sıcaklık, CO ve O2 değerleri üzerindeki iyileştirici etkisinin çok düşük düzeyde kaldığı gözlemlenmiştir. Ancak sadece 1. fanın veya sadece 2. fanın açık olması durumlarının, tünel içi duman ve ısı kontrolünde daha efektif sonuçlar verdiği kanaatine varılmıştır. Tüm fanların açık olduğu durumda ise, diğer tüm durumlara göre duman, sıcaklık ve CO değerlerinin minimum seviyede, O2 değerinin ise maksimum seviyede gerçekleştiği gözlemlenmiştir. Dolayısıyla, incelenen parametre aralığında tüm fanların açık olduğu durumun optimum duman ve ısı kontrolü sağladığı tespit edilmiştir.

Anahtar Kelimeler – Duman kontrolü, jet fan, ısı salınım oranı, tünel yangınları

Investigation of The Effects of Jet Fan Sequence to Smoke and Heat Control for Tunnel Fires

¹Department of Mechanical Engineering, Faculty of Engineering and Architecture, Kirikkale University, Kirikkale, Türkiye

Article History

Received: 01.10.2021

Accepted: 04.02.2022

Published: 25.09.2022

Research Article

Abstract – In this study, fire models for two different locations from the tunnel entrance are created. To discharge the smoke due to the fire outside the tunnel, three axial jet fans are considered to be positioned at different points along the tunnel. For the created fire models, different fire scenarios for open and closed positions of these jet fans inside the tunnel are created. Thus, the effects of the fire location and fan sequence on temperature, smoke, CO and O₂ values are investigated. It is observed that the open or closed status of the fans had a significant effect on temperature and smoke distribution inside the tunnel. When none of the fans was open, it is found that the temperature and smoke levels inside the tunnel increased at a high level. It is observed that when only the 3rd fan was open, the improvement effect on fire-induced smoke, temperature, CO and O₂ values were at a very low level. However, when only the 1st fan or only the 2nd fan was open, it is found that smoke and temperature control inside the tunnel was more effective. When all the fans were open, it is observed that smoke, temperature and CO value were at the minimum level and the O₂ value was at the maximum level compared to all other states. Therefore, it is determined that the optimum smoke and heat control was achieved in all fans are open status for the investigated parameter range.

Keywords – Heat release rate, jet fan, smoke control, tunnel fires.

¹ sngl.solmaz@gmail.com

² tolgademircan@gmail.com

*Sorumlu Yazar / Corresponding Author

1. Giriş

Günümüzde, trafikte bulunan araç sayısı her geçen gün artmaktadır. Bu durum, mevcut karayollarının yetersiz kalmasına ve trafik yoğunluğuna sebep olmaktadır. Trafik yoğunluğunun çok fazla olduğu yollarda, hem trafik yoğunluğunu azaltmak hem de zaman ve yakıt tasarrufu sağlamak amacıyla yeraltı tüneleri yapılmaktadır. Ayrıca engebeli bir yapıya sahip yollarda, ulaşımı kolaylaştırması ve ulaşım süresini kısaltmaları sebebiyle yer altında yapılan tünellerin önemi aşıkardır. Ancak ulaşımda kullanılan tünel sayısı arttıkça, tünel içerisinde meydana gelen kaza sayısı da artmaktadır. Tünel içerisinde oluşabilecek bir kaza, normal yolda gerçekleştirebilecek bir kazaya göre çok daha fazla can ve mal kaybına sebep olabilmektedir. Çünkü uzun tüneller, bir nevi kapalı bir ortam gibi kabul edilebilmektedir. Tünel içerisinde bir kaza olduğunda, tünel içindeki trafik kaza nedeni ile durabilmektedir. Dolayısıyla tünel içerisinde gerçekleşen bir araç kazasında, kazalı aracın alev alması durumunda oluşan bir yangın tünel içerisinde duran diğer araçlara sıçrayabilmekte ve onlarında da yanmasına sebep olabilmektedir.

Tünel içerisinde oluşan yangın sonucu, zehirli gazlardan oluşan duman ve yüksek sıcaklık tünelin içine hızla yayılabilmektedir. Oluşan bu duman görünürlüğü azaltarak, tünel içindeki insanların tüneli terk etmesini, yangın söndürme ve ilkyardım personelinin ise kazazelerde ulaşımını zorlaştırmaktadır. Ayrıca zehirli gazlar, tünel içerisinde bulunan insanların nefes almasını zorlaştırmakta ve can kaybına sebep olabilmektedir. Tüm bu olumsuzluklar nedeniyle, tünel içerisinde olası bir yangın durumunda, oluşan yüksek ısının ve dumanın kontrollü ve hızlı bir şekilde tünel dışına atılması hayatı önem arz etmektedir. Bu amaçla, tünel havalandırma sistemleri kullanılmaktadır. Tünel havalandırma sistemi seçilirken, tünel uzunluğu, kesit büyüklüğü, eğimi ve kullanan araç yoğunluğu vb. faktörler dikkate alınmaktadır. Günümüzde tünel havalandırmasında jet fanlar sıkılıkla kullanılmaktadır. Jet fanlar tünel içindeki mevcut havayı üfleyerek tünel çıkışına doğru bir hava akışı sağlamaktadır. Olası bir yangın durumunda, bu hava akışı sayesinde duman ve yüksek sıcaklıklar tünel dışına doğru süpürülerek, tünel içerisinde insan sağlığına uygun bir ortam sağlanmaktadır. Ancak jet fanlarının sayısı ve dizilişi, bu duman kontrolü için önemli bir parametredir.

Karayolu tünellerinde yanğını oluşturan ve yanın sonucunu etkileyen pek çok parametre olduğundan dolayı; tünelerde yanını, yanın kaynaklı dumanın hareketini, yanın sonucu meydana gelen zehirli gazların konsantrasyonunu hep birlikte ele almak gerekmektedir. Bu sebeple karayolu tünellerinde çıkan yanın pek çok araştırmacının ilgi odağı ve pek çok araştırmacının konusu olmuştur. Literatür incelemesiinde, araştırmacıların karayolu tünel yanıkları konusunda; gerçek boyutta veya ölçeklendirilmiş tüneli kullanarak, yanın kaynaklı dumanın akış hareketi ve karakteristiği, uygun duman tahliye yönteminin belirlenmesi ve tünel havalandırma metotları gibi hususlar üzerinde deneyel ve sayısal çalışmalar yürütüldüğü görülmüştür. Bu çalışmalar bazlarına aşağıda yer verilmiştir.

Li ve diğerleri, boyuna havalandırma sistemine sahip bir tünel yanlığında, kritik hızı ve geri katmanlaşma tabakasının uzunluğu üzerinde çalışmışlardır. Çalışmalarının sonucunda, kritik hızın boyutsuz 1s salım oranının 0,15 değerine yaklaşırken meydana geldiğini belirtmiştir ([Li vd., 2010](#)). Ünal çalışmasında, 690 m uzunluğuna ve %1,5 eğime sahip bir karayolu tünelinde, yanın olması durumunda bölgedeki hava koşullarının tünel havalandırmasına etkisini sayısal olarak incelemiştir. Tünel çıkışında rüzgar hızının 4 m/s ve 10 m/s olduğu durumlar için 2 farklı senaryo oluşturulmuştur. Rüzgar hızının 10 m/s olması durumunda; tünel içindeki görüş mesafesinin daha düşük, zehirli gaz konsantrasyon değerlerinin ise daha fazla olduğunu belirtmiştir ([Ünal, 2015](#)). Fan ve diğerleri, dikey şaftlı doğal havalandırma sistemine sahip karayolu tünellerinde, CO yoğunluğu, duman ısısı, duman hızı, duman boşaltma etkinliğinin duman boşaltma verimliliğine etkisini ölçmek için deneyel incelemeler yapmışlardır ([Fan vd., 2013](#)). Bilgin, hava kirliliği, yanma reaksiyonları, yanma sonucu meydana gelen zararlı gaz emisyonları, bu emisyonların çevreye ve insan sağlığına zararları üzerine çalışmıştır. Tünelin yapım şekilleri, işlevleri ve AB standartlarından bahsetmiştir. Sonuç olarak, karayolu tünellerinde tünel güvenliğinin bir sistem olarak ve AB mevzuatına uygun olarak ele alınması gerektiğini belirtmiştir ([Bilgin, 2014](#)). Karaaslan ve diğerleri, at nali kesitine sahip 300 m uzunluğunda, her biri 3 adet fan içeren 3 adet jet fan grubunun yerleştirilmiş olduğu bir karayolu tünelini incelemiştir. Bu amaçla, 10 MW ve 50 MW'lık iki farklı yanın büyütüğü ve farklı senaryolarda çalıştırılan jet fanlar için CFD analizleri yapmışlardır. Sonuç olarak tünel içi kritik hız değerini 2,46 m/s olarak belirlemiştir ([Karaaslan vd., 2013](#)).

Tian ve diğerleri, tam ölçekli bir tünelde metanol-benzin karışımı olan çeşitli yakıtlarla gerçekleşen bir yanından kaynaklı dumanın, farklı rüzgar koşulları için tünel içerisindeki sıcaklık dağılımını deneyel olarak

incelemişlerdir (Tian vd., 2017). Alpgiray, enine havalandırma sisteme sahip bir karayolu tünelinde 10 MW ısı yayılım oranında olan bir yanın için, emme-basma fan gruplarını tünelin girişine, merkezine ve çıkışına yerleştirilerek inceleme yapmıştır. Sonuç olarak, fanların çalışma sırasında, tünel geometrisi, yanın büyüklüğü gibi parametrelerin, tünel havalandırma sisteminin tasarımları için önemli parametreler olduğunu belirtmiştir (Alpgiray, 2016). Wang ve arkadaşları, bir tünel yanının egzoz çıkış açıklıklarının duman yayılma performansı üzerindeki etkisini incelemişlerdir. Bu amaçla, tam ölçekli bir tünelde gerçekleştirilecek bir yanını üç boyutlu bilgisayar modeli FDS ile simüle ederek, tünelin sıcaklık ve duman dağılımını belirlemişlerdir. Sonuç olarak; duman geri katmanlaşma tabakasının egzoz açıklıklarından önemi derecede etkilendiğini belirtmişlerdir (Wang vd., 2016). Yuan ve diğerleri, tren vagonu içinden çıkan bir yanında, farklı lokasyonlarda yanının çıkması durumunda yanın bölgesinin, duman ve sıcaklık dağılımı üzerine olan etkileri üzerine sayısal olarak çalışmışlardır. Vagonun içinde yanın yerinin önemli bir etkisinin olmadığı kanaatine varmışlardır (Yuan vd., 2015).

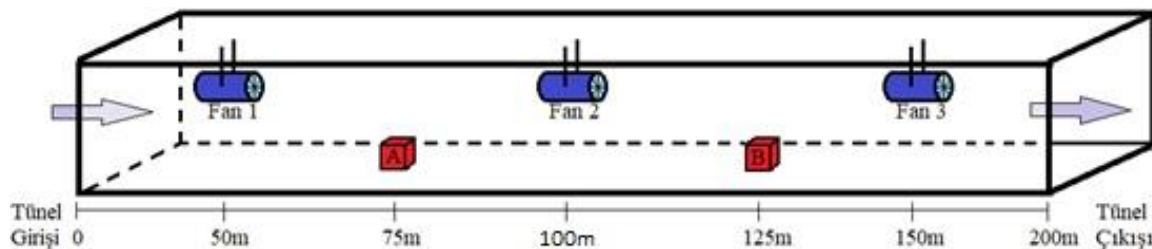
Lin ve diğerleri yapmış oldukları çalışmada, tünel yanıklarında taşit kaynaklı tünel tikanıklığının duman kontrol sisteminin performansına etkisini sayısal olarak incelemişlerdir. Sonuç olarak taşit kaynaklı tikanıklığın, tünelde duman kontrolü için faydalı olan kritik hızı düşürdüğünü, tünelin tikanıklık olan tarafında kütle akış hızının azaldığını ve boşaltımın mümkün olmadığını belirtmişlerdir (Lin vd., 2016). Li ve diğerleri, birleşim kavşağı olan bir karayolu tünelinde duman kontrolünü sayısal olarak incelemişlerdir. Bu amaçla, ana tünelde duman kontrolünü, farklı yanın güçleri için kritik hızı kullanarak yapmışlardır. Sonuç olarak, ana tünelde duman geri akışının engellenebildiğini fakat birleşim kavşağında duman kontrolünün iyi sağlanmadığını belirtmiştir (Li vd., 2017). Altay, at nali kesitine sahip bir karayolu tünelinde, 10 MW ve 50 MW ısı salım oranına sahip yanıklar için farklı senaryoları sayısal olarak incelemiştir. Sonuç olarak, 50 MW ısı salım hızına sahip bir yanında duman tahliyesinin oldukça zor olduğunu, uygun duman tahliyesinin ancak fan gruplarının tünel çıkışına daha yakın bir yerde konumlanması ile mümkün olabileceğini belirtmiştir (Altay, 2016). Fan ve diğerleri, bir karayolu tünelinde olası bir yanın durumunda enine duman sıcaklık dağılımı ve uzunlamasına duman sıcaklık dağılımı arasındaki farkı incelemek için deneyel çalışmalar yapmışlardır. Bu kapsamında, yanın kaynağının yeri değiştirilerek farklı senaryolar hazırlanmıştır. Sonuç olarak tünel yan duvarlarının bloke edici etkisi nedeniyle, sıcaklık artışıının enine bozulma oranının uzunlamasına olandan daha büyük olduğunu gözlemlemişlerdir (Fan vd., 2013).

Yuan ve diğerleri, 1:5 oranında küçültülmüş doğal havalandırmalı bir tünel yanısında duman yayılım özelliklerini deneyel olarak incelemişlerdir. Yapmış oldukları bu çalışmada tünel içerisinde ısı yayılım oranı, şaft mesafesi, şaft boyutu, tren tikanıklığı ve duman perdesi gibi bazı faktörlerin etkisini araştırmışlardır (Yuan vd., 2013). Li ve diğerleri, tünelde eğimin kritik hız üzerindeki etkisini sayısal ve deneyel olarak incelemişlerdir. Sonuç olarak, yanın büyülüğu ve tünel eğimi arttıkça kritik hızın arttığını belirtmişlerdir (Li vd., 2017). Lee ve diğerleri, tünel yanıklarında tünel en-boy oranının duman hareketi üzerine etkilerini sayısal ve deneyel olarak incelemişlerdir. Sonuç olarak, tünel yanıklarında en-boy oranının dumanın büyümeye ve gelişmesini etkilediğini belirtmişlerdir (Lee vd., 2016).

Bu çalışma kapsamında ise, bir karayolu tünelinde araç kazası nedeniyle çıkabilecek olası bir yanın sonucu oluşan yüksek ısı ve dumanın kontrolü üzerine çalışılmıştır. Bu kapsamında, tünel girişinden iki farklı konum için olası yanın modeli oluşturulmuştur. Yanın sonucu oluşacak dumanın tünel dışına atılabilmesi amacıyla, tünel boyunca farklı noktalara üç adet aksiyel jet fanın yerleştirildiği düşünülmüştür. Oluşturulan yanın modelleri için, tünel içerisinde yerleştirilmiş olan bu jet fanlarının farklı açıklık kapalılık durumları için farklı yanın senaryoları oluşturularak, sayısal analizler tekrarlanmıştır. Böylelikle yanın konumunun ve fan diziliminin yanın kaynaklı dumanın hareketine, tünel içi sıcaklık, CO ve O₂ değerlerine olan etkileri incelenmiştir.

2. Materyal ve Yöntem

Bu çalışma kapsamında, bir tünelin yanın tahliye sisteminin sayısal olarak incelenmesi için 8x8x200 m boyutlarında ve duvar kalınlığı 50 cm olan bir karayolu tüneli ele alınmıştır. Bu tünelde, ısı yayılım oranı 5 MW olan ve propanın (C₃H₈) yanması sonucu oluşan olası bir yanın kaynağı, tünel girişinden 2 farklı uzaklık için konumlandırılarak incelemeler yapılmıştır. Bu kapsamında, tünel girişinden farklı uzaklıklara üç adet aksiyel jet fan yerleştirildiği düşünülmüştür. Bu jet fanlarının farklı açıklık kapalılık durumları için farklı yanın senaryoları oluşturularak sayısal analizler tekrarlanmıştır. Bu çalışma kapsamında incelenen tünel geometrisinin şematik gösterimi Şekil 1'de verilmiştir. Şekilde görüldüğü üzere, tünel girişinden 75. metrede çıkan yanının merkezi A ile, 125. metrede çıkan yanının merkezi ise B ile gösterilmiştir.



Şekil 1. İncelenen model tünelin şematik gösterimi

Fanların diziliş şeklärinin, tünel içerisindeki duman ve sıcaklık dağılımına etkisini incelemek, yanın sonrasında insanların tüneli tahliye edebilecek görünürülük düzeyine erişebilmesini sağlayıp sağlamadığını analiz edebilmek amacıyla, fan hızı 30 m/s sabit hızda tutularak; bütün fanlar kapalı, sadece birinci fan açık, sadece ikinci fan açık, sadece üçüncü fan açık ve bütün fanlar açık olacak şekilde farklı yanın senaryoları oluşturularak simülasyonlar yapılmıştır. Bu senaryolarda yanının ilk 360 saniyesi zamana bağlı olarak incelenmiştir. Bu çalışma kapsamında incelenen analiz parametreleri Tablo 1'de verilmiştir.

Tablo 1

Analiz parametreleri

Yangın Konumu	75 m ve 125 m
Fan Konumu	50 m, 100 m ve 150 m
Fan Açık/Kapalı Durumu	Hepsi Kapalı, Sadece 1. fan açık, Sadece 2. fan açık, Sadece 3. fan açık, Hepsi Açık

2.1. Diferansiyel Denklemler

İncelenen yanın modelinin sayısal olarak çözülmesinde kullanılan süreklilik denklemi Denklem 2.1'de, türlerin korunumu denklemi Denklem 2.2'de, momentum denklemi Denklem 2.3'de, enerjinin korunumu denklemi ise Denklem 2.4'de verilmiştir (Chiam, 2005).

Süreklik denklemi

$$\frac{\partial \rho}{\partial t} + \nabla \cdot \rho u = 0 \quad (2.1)$$

Türlerin korunumu denklemi

$$\frac{\partial}{\partial t} (\rho Y_i) + \nabla \cdot \rho Y_i u = \nabla \cdot \rho D_i \nabla Y_i + \dot{m}_i'' \quad (2.2)$$

Momentum denklemi

$$\rho \left(\frac{\partial u}{\partial t} + (u \cdot \nabla) u \right) = -\nabla p + \nabla \cdot \tau + \rho g + f \quad (2.3)$$

Enerjinin korunumu denklemi

$$\left(\frac{\partial}{\partial t} (\rho h) + \nabla \cdot \rho h u \right) = \left(\frac{\partial p}{\partial t} + u \cdot \nabla p \right) + q''' - \nabla \cdot q_{rad} + \nabla \cdot k \nabla T + \sum_i \nabla \cdot h_i \rho D_i \nabla Y_i \quad (2.4)$$

2.2. Sınır Şartları

Problemin diferansiyel denklemlerinin sayısal olarak çözülebilmesi için, sınır şartlarının bilinmesi gerekmektedir. Bu kapsamda, çözüm başlangıcında tünelin içerisinde 20 °C sıcaklığı sahip durağan ortam havası bulunduğu düşünülmüştür. Tünelin içinde hava akışını sağlayan jet fanların hızlarının 30 m/s olacak şekilde sabit olduğu ve bu fanların açıklık/kapalılık durumunun ise incelenen yanın senaryosuna göre değiştiği kabul edilmiştir. Tünel içerisinde meydana gelen yanının propanın (C_3H_8) yanması sonucu olduğu, ısı salınım oranının (HRR) ise sabit 5 MW değerinde olduğu varsayılmıştır. Yanma sonucu ortaya çıkan gazların ise atmosfer basıncı sahip bir dış ortama gönderildiği düşünülmüştür.

2.3. Sayısal Yöntem

Bu çalışmada ele alınan tünelin sayısal olarak incelenmesi sırasında çözücü program olarak Fire Dynamics Simulator (FDS) yazılımı kullanılmıştır. Grafik ara yüzü olarak ise Pyrosim programının deneme sürümü tercih edilmiştir. Bu kapsamında FDS ve Pyrosim programlarının 2018 versiyonları kullanılmıştır. Akışı modellemek için Large Eddy Simulation (LES) yaklaşımı ve Smagorinsky–Lilly türbülans modeli kullanılmıştır. Bu modelde türbülans viskozitesi Denklem 2.5 yardımıyla belirlenmektedir. (Yuen vd. 2017, Tian ve Xiao 2020)

$$\mu_T = \rho(C_s \Delta)^2 |\tilde{S}| \quad (2.5)$$

Burada C_s terimi Smagorinsky katsayısıdır ve bu çalışma kapsamında C_s katsayısının değeri 0,15 olacak şekilde sabit tutulmuştur. \tilde{S} ve Δ terimleri ise sırasıyla Denklem 2.6 ve Denklem 2.7 yardımıyla belirlenmektedir. (Yuen vd. 2017, Tian ve Xiao 2020)

$$|\tilde{S}| = \sqrt{2\tilde{S}_{ij}\tilde{S}_{ij}} \quad (2.6)$$

$$\Delta = \sqrt[3]{\Delta x \Delta y \Delta z} \quad (2.7)$$

ise gerinim tensöründür ve Denklem 2.8 aracılığı ile belirlenmektedir. (Yuen vd. 2017, Tian ve Xiao 2020)

$$\widetilde{S}_{ij} = \frac{1}{2} \left(\frac{\partial u_i}{\partial x_j} + \frac{\partial u_j}{\partial x_i} \right) \quad (2.8)$$

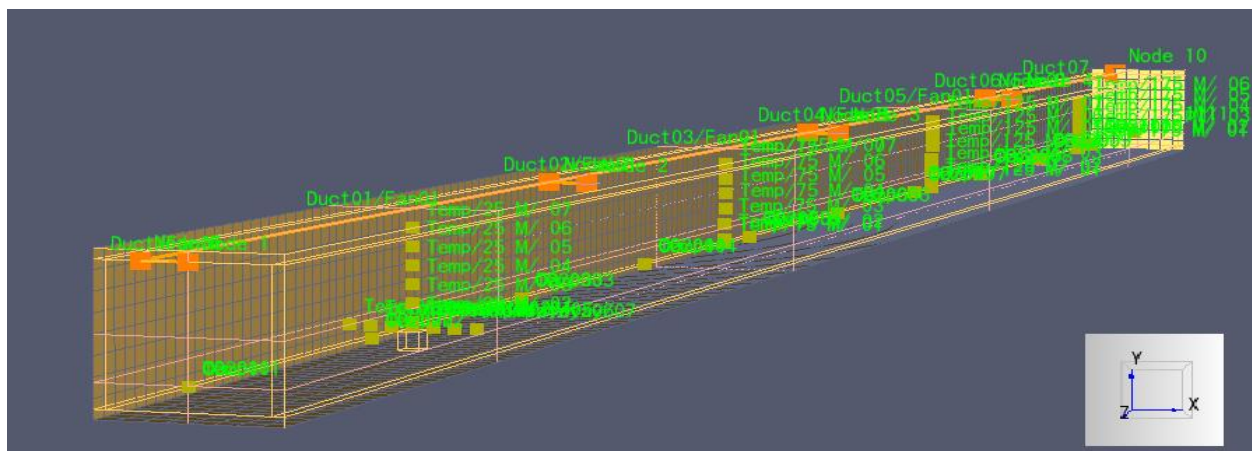
Yanmayı modellemek için ise Karışım Kesri Modeli (Mixture Fraction Model) kullanılmıştır. Sayısal çözümler, zamana bağlı algoritma kullanılarak yanının ilk 360 saniyesi için gerçekleştirilmişdir. FDS yazılımı ve Pyrosim ara yüzü ile yürütülen analizlerden elde edilen sonuçlar, Smokeview görüntüleme ara yüzü aracılığı ile görüntülenmiştir.

Oluşturulan tünelin ağ yapısını da içeren izometrik görünümü Şekil 2'de verilmektedir. İlgili şekilde, sıcaklık, CO, O₂ vb. büyüklüklerin ölçümünün yapıldığı prob noktaları ve jet fanların konumları birlikte görülmektedir. Ağ yapısı oluşturulurken, farklı sayıda eleman sayısına sahip ağ yapıları için deneme simülasyonları yapılmıştır. Tünel girişinden 75 m uzaklıkta gerçekleşen bir yanım için elde edilen maksimum sıcaklığın eleman sayısı ile değişimi Tablo 2'de verilmiştir. Çizelgeden de görüldüğü üzere, eleman sayısının 43200 değerinden sonra, maksimum sıcaklık değeri fazla değişim göstermemektedir. Bundan dolayı 43200 eleman sayısına sahip ağ yapısı optimum ağ yapısı olarak belirlenmiştir. Tüm simülasyonlar bu optimum ağ yapısı kullanılarak gerçekleştirilmiştir.

Tablo 2

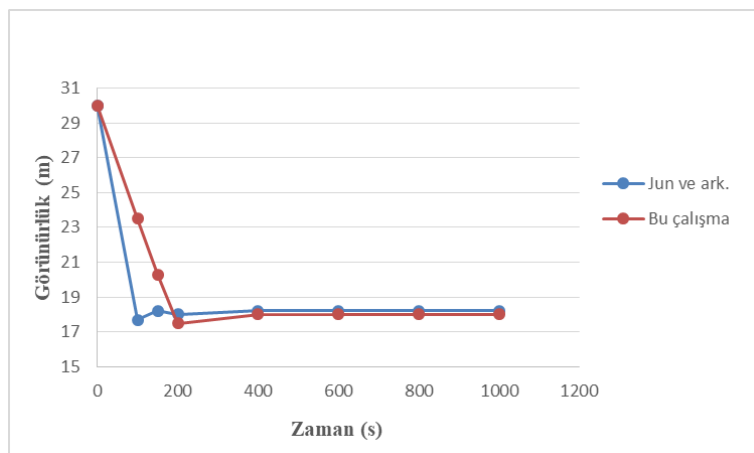
Maksimum sıcaklığın eleman sayısı ile değişimi

Eleman Sayısı	T _{maks}
1600	112,13 °C
12800	123,28 °C
43200	128,86 °C
102400	129,12 °C



Şekil 2. Modelin izometrik görünümü

Bu çalışmada kullanılan sayısal yöntemin ve yapılan kabullerin doğruluğunu ve güvenirliliğini kontrol etmek amacıyla, bu çalışmadan elde edilen sonuçlar literatürde bulunan benzer bir çalışmanın sonuçları ile kıyaslanmıştır. Bu amaçla, literatürde bulunan Jun vd. (2013) tarafından yapılan çalışma, onların geometrisi ve sınır şartları için tekrarlanmıştır. İncelenen tünelin 300-350 m aralığı için her iki çalışmadan elde edilen sonuçlar Şekil 3'de birlikte verilmektedir. Şekilden görüldüğü üzere, iki çalışma için çizilen eğriler benzer bir profil oluşturmaktadır. Yangının başlangıç anlarında eğriler arasında biraz farklılıklar olmasına rağmen, 200. saniyeden sonra her iki eğri birbiri ile uyum içindedir. Dolayısıyla bu çalışmada ele alınan sayısal yöntem ve kabullerin güvenilir seviyede olduğu söylenebilir.



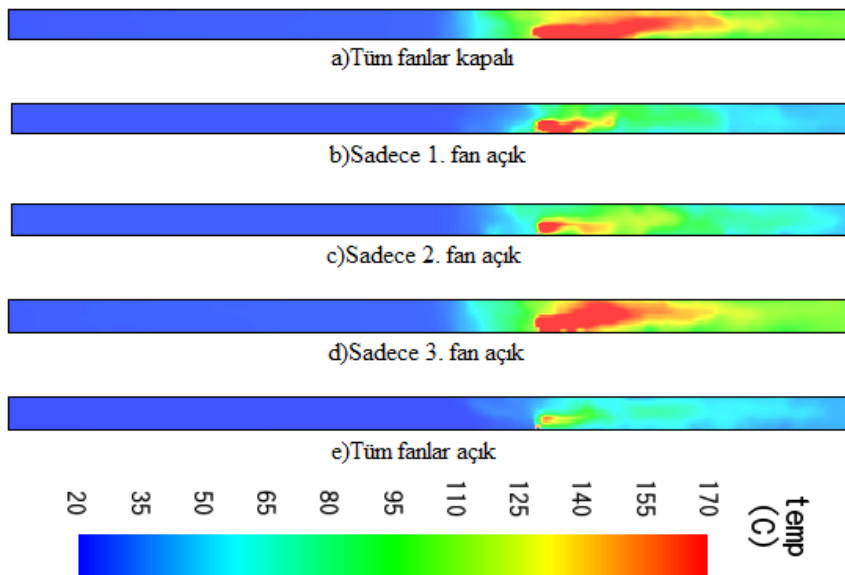
Şekil 3. Bu çalışmanın sonuçları ile literatür (Jun vd., 2013) sonuçlarının karşılaştırılması

3. Bulgular ve Tartışmalar

Bu çalışma kapsamında, bir karayolu tünelinde çıkan olası bir yangın durumu için tünelin yangın tahliye sistemi sayısal olarak incelenmiştir. Bu kapsamında, ısı yayılım oranı 5 MW olan olası bir yangın kaynağının tünel girişinden 2 farklı uzaklık için konumlandırıldığı ve tünel girişinden farklı uzaklıklara üç adet aksiyel jet fanın yerleştirildiği düşünülmüştür. Fan hızı 30 m/s sabit hızda tutularak; bütün fanlar kapalı, sadece 1. fan açık, sadece 2. fan açık, sadece 3. fan açık ve bütün fanlar açık olacak şekilde farklı yangın senaryoları oluşturularak simülasyonlar yapılmıştır. Yapılan analizlerden elde edilen bazı sonuçlar aşağıda verilmiştir.

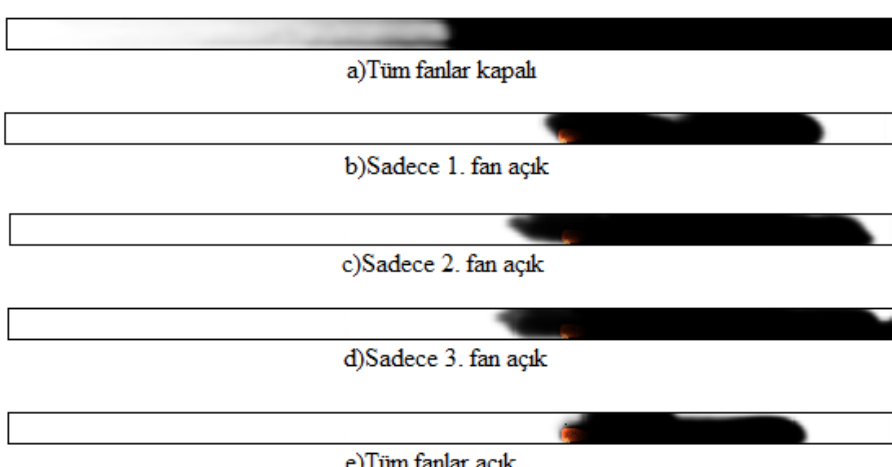
Yangın konumu 125 metre olduğu durumda 360. saniyenin sonunda, farklı fan açıklık senaryoları için elde edilen tünel içi sıcaklık dağılımları Şekil 4'te görülmektedir. Şekil incelemişinde; tüm fanlar kapalı iken tünel içi sıcaklık değerlerinin çok yükseldiği, tünel girişinden 125 m uzakta meydana gelen yangın merkezi ve

çevresinden tünel çıkışına doğru can ve mal güvenliği için uygun sıcaklık şartlarının kalmadığı görülmüştür. Buna karşılık tüm fanların açık olması durumunda tünel içi sıcaklık durumunun iyi seviyelere ulaştığı, insanlar için tünelden güvenli bir çıkış alanının olduğu gözlemlenmiştir. Sadece 3. fanın açık olması durumunda ise, bu fanın konumunun yanın konumundan daha ileride kalması sebebiyle sıcaklık üzerinde iyileştirici bir etkisi bulunmadığı belirlenmiştir. Ancak sadece 2. fanın açık kalmasının 3. fana kıyasla daha iyi sonuçlar verdiği kanaatine varılmıştır.



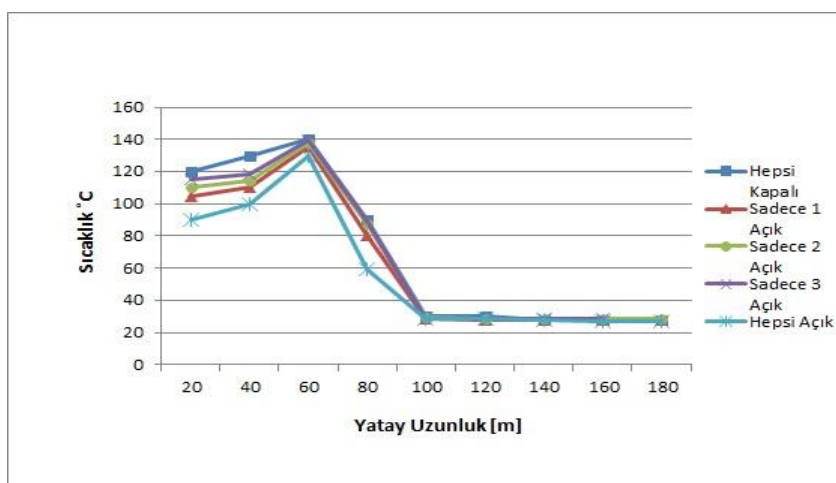
Şekil 4. Yangın konumu 125 m ve $t=360$ s için sıcaklık dağılımı, a)Tüm fanlar kapalı, b)Sadece 1. fan açık, c)Sadece 2. fan açık, d)Sadece 3. fan açık, e)Tüm fanlar açık

Yangın konumu 125 metre olduğu durumda 360. saniyenin sonunda, farklı fan açıklık durumları için elde edilen tünel içi duman dağılımları [Şekil 5](#)'te verilmektedir. Şekil incelendiğinde, tüm fanların kapalı olması durumunda tünelin büyük bir bölümünün duman ile kaplandığı, insanlar için görüş mesafesinin oldukça azaldığı, duman miktarının artmasına bağlı olarak zehirli gaz miktarının arttığı ve insan sağlığı için tehlikeli boyutlara ulaşabileceği görülmektedir. Tüm fanların açılmasının duman seviyesini önemli ölçüde azalttığı, görünürlük düzeyini artırmaya katkı sağladığı ve güvenli bir çıkış için daha fazla alan meydana getirdiği gözlemlenmiştir. Tek bir fanın açık olduğu durumlar karşılaştırıldığında, sadece ilk fanın açık olduğu durumda tünelin büyük bir kısmında görünürlüğün uygun seviyede olduğu gözlemlenmiştir. Sadece üçüncü fanın açılmasının duman dağılımı üzerinde önemli bir katkı sağlanmadığı belirlenmiştir. Eğer tünel içerisinde sadece tek bir fan açılabilecekse ise, bunun ilk fan olması gerektiği anlaşılmaktadır.



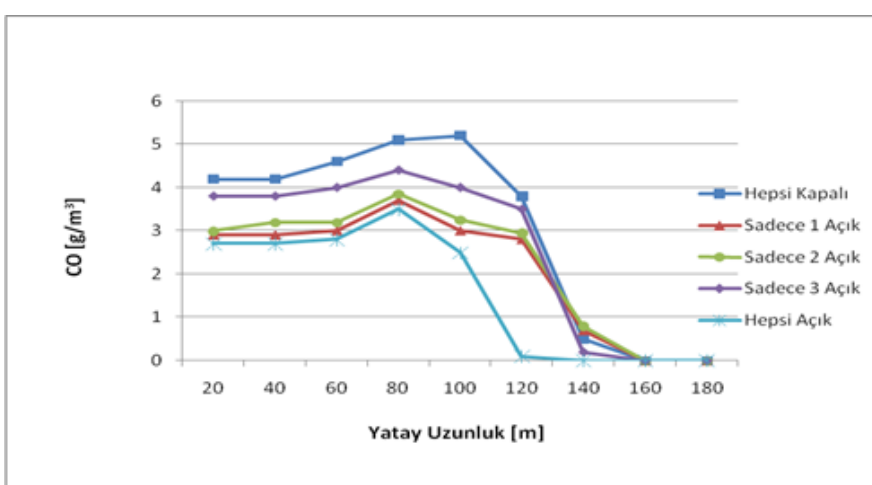
Şekil 5. Yangın konumu 125 m ve $t=360$ s için duman dağılımı, a)Tüm fanlar kapalı, b)Sadece 1. fan açık, c)Sadece 2. fan açık, d)Sadece 3. fan açık, e)Tüm fanlar açık

Şekil 6'da tünel girişinden 75 m uzaklıkta gerçekleşen yangında 360 saniye sonunda, fanların açıklık kapalılık durumlarındaki değişimin tünel boyunca oluşan sıcaklık değerleri üzerindeki etkilerini gösteren eğriler verilmiştir. Şekilden de görüldüğü üzere, yangın merkezinde tüm fan durumları için sıcaklık değerleri en yüksek seviyeye ulaşmış ve yangın merkezinden tünel çıkışına doğru ilerledikçe sıcaklık değerlerinin azalıp tünel çıkışında normal değerlere ulaşlığı görülmüştür. Tüm fanlar kapalı olduğu durumda, tünel içi sıcaklık değerlerinin diğer fan durumlarına kıyasla daha yüksek olduğu ve tüm fanların açılmasının sıcaklık değerleri üzerinde iyileştirici etkide bulunduğu anlaşılmıştır. Sadece 1. fanın veya sadece 2. fanın açık olması durumlarının, sıcaklık dağılımı üzerinde olumlu etkide bulunduğu, fakat sadece 3. fanın açık olmasının tüm fanların kapalı olmasına neredeyse eş değer sonuçlar verdiği gözlemlenmiştir.



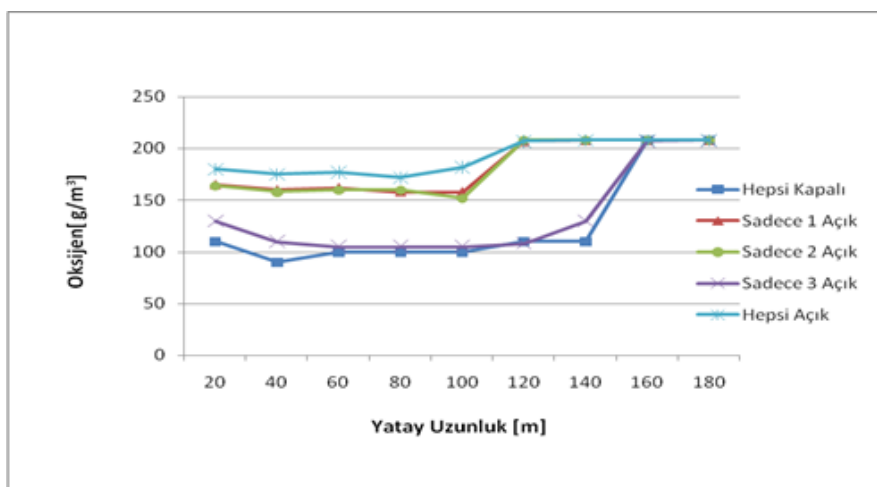
Şekil 6. Yangın konumu 75 m ve t=360 sn için, sıcaklığın tünel boyunca değişimi

Şekil 7'de tünel girişinden 75 m uzaklıkta gerçekleşen bir yangın için 360. saniye sonunda, fanların açıklık kapalılık durumlarındaki değişimin tünel boyunca oluşan CO dağılımı üzerindeki etkileri grafiksel olarak verilmiştir. Tüm fan durumları için yangının merkezine yakın bölgelerde CO değerlerinin en yüksek seviyede olduğu gözlemlenmiştir. Bu bölgelerde CO seviyesi insan sağlığı için tehlikeli sınırlara ulaşmıştır. Tünel çıkışına doğru ise CO normal değerlere ulaşmıştır. En kötü durum fanların hepsinin kapalı olduğu durumda gerçekleşmiştir. Fanların açılması tünel içinde oluşan CO değerlerini azaltıcı etkide bulunmuştur. Tek fan açık olması durumunda, sadece 1. veya sadece 3. fanın açık olması benzer bir etkiye sebep olmuştur. Ancak sadece 3. fanın açık olduğu durumda, fanın konumunun yangın merkezinin ilerisinde olması sebebiyle CO seviyesinin diğer durumlara göre daha yüksek olduğu gözlemlenmiştir. Fanların hepsinin açık olduğu durumda ise, tünel boyunca minimum CO seviyesi gerçekleşmiş, özellikle tünelin çıkışına doğru CO değerlerinde ani bir düşüş gözlemlenmiştir.



Şekil 7. Yangın konumu 75 m ve t=360 sn için, CO seviyesinin tünel boyunca değişimi

Şekil 8'de tünel girişinden 75 m uzaklıkta gerçekleşen bir yangın için 360. saniye sonunda, fanların açıklık kapalılık durumlarındaki değişimini tünel boyunca oluşan oksijen dağılımı üzerindeki etkileri görülmektedir. Şekil incelendiğinde, fanların hepsinin kapalı ve sadece 3. fanın açık olduğu durumlar için çizilen eğrilerin birbirleri ile oldukça benzer olduğu görülmektedir. Bu iki durumda da, özellikle yangının başlangıç konumuna yakın bölgelerde oksijen seviyesinin düşüğü belirlenmiştir. Tüm fanların açılması durumunda ise, tünel içerisindeki dumanın tünel çıkışına doğru en iyi şekilde tahliye edilebilmesinden dolayı, tünel boyunca O₂ seviyesinin optimum düzeyde tutulıldığı görülmüştür. Sadece 1. fanın ve sadece 2. fanın açık olması durumlarının da, tünel içerisindeki O₂ seviyesine iyileştirici etkide bulunduğu belirlenmiştir.

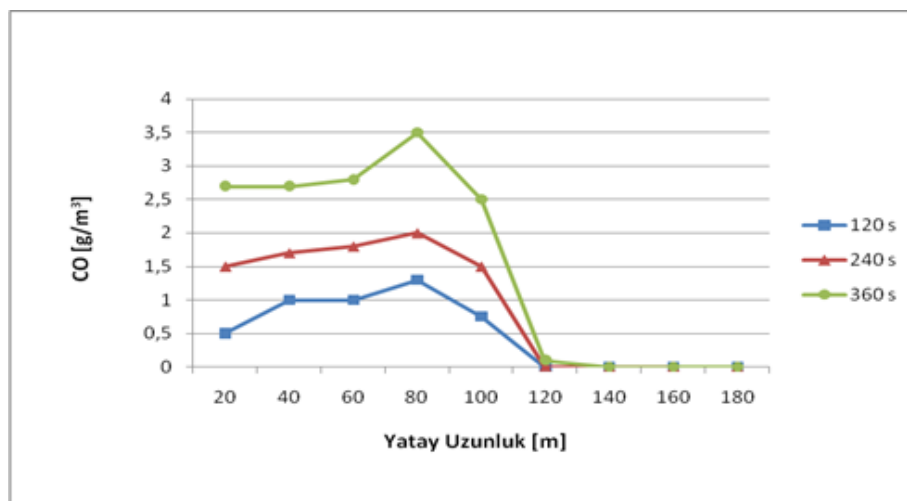


Şekil 8. Yangın konumu 75 m ve t = 360 sn için, O₂ seviyesinin tünel boyunca değişimi

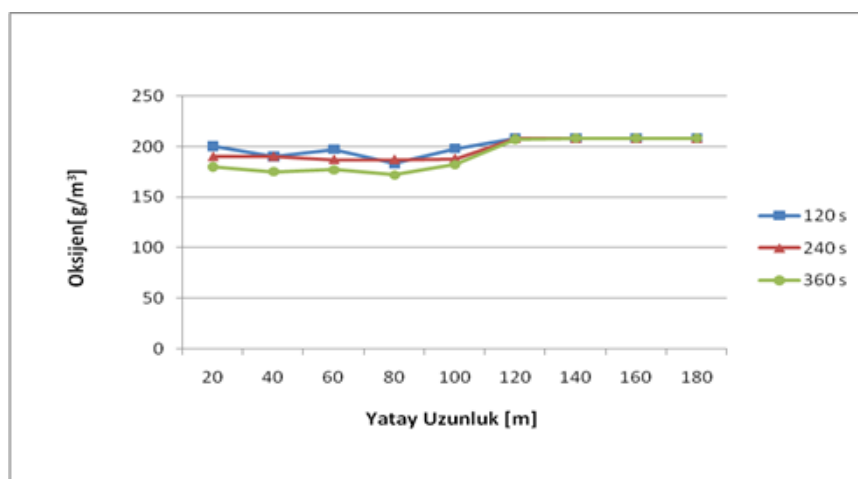
Şekil 9'da ise tünel girişinden 75 m uzaklıkta meydana gelen bir yanında tüm fanların açık olması durumunda, yanın başlangıcından 120, 240 ve 360 saniye sonundaki tünel içi CO ve O₂ değerleri birlikte görülmektedir. Bu kapsamda CO'nun tünel uzunluğu boyunca değişimi Şekil 9a'da, O₂'nin tünel uzunluğu boyunca değişimi ise Şekil 9b'de verilmiştir. Zamana bağlı olarak yapılan analizler sonucunda yanın merkezi ve yakın çevresinde, ilerleyen zamana bağlı olarak CO değerlerinin yükseldiği O₂ değerlerinin ise azaldığı görülmüştür. Tünel çıkışına doğru ise zamana bağlı olarak önemli bir değişim olmadığı gözlemlenmiştir.

4. Sonuçlar

Bu çalışmada, bir karayolu tuneline çikan olası yanın senaryoları için tunelin yanın tahliye sistemi sayısal olarak incelenmiştir. Bu kapsamında, ısı yayılım oranı 5 MW olan olası bir yanın kaynağının tünel girişinden 2 farklı uzaklık için konumlandırıldığı ve tünel girişinden farklı uzaklıklara üç adet aksiyel jet fanın yerleştirildiği düşünülür. Bütün fanlar kapalı, sadece 1. fan açık, sadece 2. fan açık, sadece 3. fan açık ve bütün fanlar açık olacak şekilde farklı yanın senaryoları oluşturularak analizler yapılmıştır. Yapılan analizlerin sonucunda, fanların açıklık kapalılık durumlarının tünel içi görünürülük, duman, sıcaklık, CO ve O₂ seviyelerini önemli ölçüde etkilediği gözlemlenmiştir. Fanların hepsinin kapalı olması durumunda, yanın kaynaklı oluşan CO ve dumanın tünel dışına tahliye edilmesi için gereken taze havanın sağlanamadığı tespit edilmiştir. Bundan dolayı, tünel boyunca sıcaklık ve CO seviyesinin yükseldiği, tünel içi duman yayılımının arttığı ve O₂ seviyesinin ise azaldığı gözlemlenmiştir. Dolayısıyla hiçbir fanın çalışmadığı durum için, olası bir yanın durumunda tünel içindeki ortamın insan sağlığı için olumsuz özelliklerde olduğu belirlenmiştir. Sadece 3. fanın açık olmasının, yanın kaynaklı duman, sıcaklık, CO ve O₂ değerleri üzerindeki iyileştirici etkisinin çok düşük düzeyde olduğu gözlemlenmiştir. Ancak sadece 1. fanın veya sadece 2. fanın açık olması durumlarının, insan sağlığı için daha efektif sonuçlar verdiği kanaatine varılmıştır. Tüm fanların açık olduğu durumda ise, duman, sıcaklık ve CO değerlerinin minimum seviyede, O₂ değerinin ise maksimum seviyede gerçekleştiği gözlemlenmiştir. Dolayısıyla, incelenen parametre aralığında tüm fanların açık olduğu durumun optimum duman ve ısı kontrolü sağladığı söylenebilir. Ayrıca tünel çıkışına daha yakın bir noktada meydana gelen olası bir yanın duman tahliyesinin, tünel girişine yakın bölgede meydana gelen bir yanına kıyasla daha fazla gerçekleştirilebileceği gözlemlenmiştir.



(a)



(b)

Şekil 9. Yangın konumu 75 m ve tüm fanlar açık olduğu durumda, farklı zaman anları için (a) CO ve (b) O₂ seviyesinin tünel boyunca değişimi

Yazar Katkıları

Songül Solmaz: Literatür taramasını yapmış, model geometriyi oluşturmuş, sayısal doğrulama işlemini yapmış, sayısal analizleri tamamlamış, grafik, tablo ve şekilleri hazırlamıştır.

Tolga Demircan: Çalışma konusunu belirlemiş, çalışmayı planlamış, tasarlamış, yönetmiş ve denetlemiş, elde edilen verileri değerlendirmiş, grafikleri yorumlamış ve makaleyi yazmıştır.

Çıkar Çatışması

Yazarlar çıkar çatışması bildirmemişlerdir.

Kaynaklar

Alpgiray, B. (2016). *Enine havalandırma sistemine sahip bir tünelde yanın kaynaklı dumanın tahliyesinin sayısal yöntemle incelenmesi* (Yüksek Lisans Tezi). Erişim adresi: <https://tez.yok.gov.tr/UlusaltTezMerkezi>

Altay, M., (2016). *Tünel yanıklarının modellenmesi ve etkin parametrelerin modellemedeki gerçekçiliğinin incelenmesi* (Yüksek Lisans Tezi). Erişim adresi: <https://tez.yok.gov.tr/UlusaltTezMerkezi>

- Bilgin, F. (2014). *Karayolu tünellerinde araç emisyonları havalandırma ve yangın önleme esasları* (Yüksek Lisans Tezi). Erişim adresi: <https://tez.yok.gov.tr/UlusaltTezMerkezi>
- Chiam, B.H. (2005). *Numerical simulation of a metro train fire* (Master's thesis). University of Canterbury, Christchurch, New Zealand.
- Fan, C.G., Ji, J., Gao, Z.H. ve Han, J.Y. (2013). Experimental study on transverse smoke temperature distribution in road tunnel fires. *Tunnelling and Underground Space Technology*, 37, 89–95. <https://doi.org/10.1016/j.tust.2013.04.005>
- Fan, C.G., Ji, J., Gao, Z.H. , Han, J.Y. ve Sun, J.H. (2013). Experimental study of air entrainment mode with natural ventilation using shafts in road tunnel fires. *International Journal of Heat and Mass Transfer*, 56, 750–757. <https://doi.org/10.1016/j.ijheatmasstransfer.2012.09.047>
- Jun, D., Li, M., Zhen-ping, W., Zhen, X. ve Wei-feng, W. (2013). Simulation study on critical velocity of longitudinal ventilation tunnel fire. *Procedia Engineering*, 52, 67-71. <https://doi.org/10.1016/j.proeng.2013.02.107>
- Karaaslan, S., Hepkaya, E. ve Yücel, N. (2013). Cfd simulation of longitudinal ventilation systems in a scaled short tunnel. *İş Bilimi ve Teknigi Dergisi*, 33, 1, 63-77.
- Lee, S. R. ve Ryou, H. S. (2016). A numerical study on smoke movement in longitudinal ventilation tunnel fires for different aspect ratio. *Building and Environment*, 41, 719–725. <https://doi.org/10.1016/j.buildenv.2005.03.010>
- Li, J., Deng, Q., Li, Y. ve Wang, Z. (2017). Numerical evaluation on the smoke control strategies and parameters for the road tunnel with converging junctions. *10th International Symposium on Heating, Ventilation and Air Conditioning, ISHVAC2017* (pp. 1858-1863) Jinan-China. <https://doi.org/10.1016/j.proeng.2017.10.262>
- Li, J., Tian, Y., Li, Y., Zhao, Y., ve Huang, Y. (2017). Numerical and experimental study on the effects of the slope on the critical velocity in titled tunnels. *10th International Symposium on Heating, Ventilation and Air Conditioning, ISHVAC2017* (pp. 1864–1870) Jinan-China. <https://doi.org/10.1016/j.proeng.2017.10.265>
- Li, Y.Z., Lei, B. ve Ingason, H. (2010). Study of critical velocity and backlayering length in longitudinally ventilated tunnel fires. *Fire Safety Journal*, 45, 361–370. <https://doi.org/10.1016/j.firesaf.2010.07.003>
- Lin, P., Zhang, Y., Li, T. ve Si, Y. (2016). A numerical study on the impact of vehicles' blockage on the performance of semi-transversal smoke control system in tunnel fire. *Procedia Engineering*, 135, 248 – 260. <https://doi.org/10.1016/j.proeng.2016.01.120>
- Tian, G. ve Xiao, Z. (2020). New insight on large-eddy simulation of flow past a circular cylinder at subcritical Reynolds number 3900. *AIP Advances*, 10, 085321. <https://doi.org/10.1063/5.0012358>
- Tian, X., Zhong, M., Shi, C., Zhang, P. Ve Liu, C. (2017). Full-scale tunnel fire experimental study of fire-induced smoke temperature profiles with methanol-gasoline blends. *Applied Thermal Engineering*, 116, 233–243. <https://doi.org/10.1016/j.applthermaleng.2017.01.099>
- Ünal, E. (2015). Acil durum tünel havalandırmasında bölgesel faktörlerin sayısal olarak incelenmesi. *12. Ulusal Tesisat Mühendisliği Kongresi* (pp. 677-686). İzmir.
- Wang, Q., Tangb, F., Lib, L., Zhangc, X. ve Fanb, C. (2016). Large eddy simulation on the effect of smoke exhaust openings arrangement on the smoke spread in tunnel fires. *Procedia Engineering*, 135, 309 – 315.
- Yuan, Z., Leia, B. ve Bia H. (2015). The effect of fire location on smoke temperature in tunnel fires with natural ventilation. *Procedia Engineering*, 121, 2119–2124. <https://doi.org/10.1016/j.proeng.2015.09.082>
- Yuan, Z., Lei, B. ve Kashef, A. (2013). Reduced-scale experimental research on fires in tunnels with natural ventilation. *The 9th Asia-Oceania Symposium on Fire Science and Technology*, (pp. 907-915). <https://doi.org/10.1016/j.proeng.2013.08.142>
- Yuen, A.C.Y., Yeoh, G.H., Timchenko, V., Cheung, S.C.P., Chan, Q.N. ve Chen, T. (2017). On the influences of key modelling constants of large eddy simulations for large-scale compartment fires predictions. *International Journal of Computational Fluid Dynamics*, 31(6-8), 324-337. <https://doi.org/10.1080/10618562.2017.1357809>